

◆ 生殖泌尿影像学

Evaluation of transition zone prostate cancer by Logistic regression of prostate imaging reporting and data system version 2 combined with prostate specific antigen

LEI Lizhi, XU Yikai*, HOU Meirong, HE Mengqi

(Medical Imaging Center, Nanfang Hospital, Southern Medical University,
Guangzhou 510515, China)

[Abstract] **Objective** To establish the *Logistic* regression model by reporting and data system version 2 (PI-RADS v2) and prostate specific antigen (PSA), and to evaluate the diagnostic efficiency in transition zone prostate cancer (PCa).

Methods MRI and PSA data of 33 patients with PCa and 54 patients with non-PCa confirmed by pathology were analyzed retrospectively. The PI-RADS v2 was used to evaluate the risk of 2 groups (from low to high as 1 to 5 points). Total PSA (t-PSA), free to total PSA ratio (f-PSA/t-PSA), PSA density (PSAD) and PI-RADS v2 scores were compared between 2 groups. The *Logistic* regression models were established with parameters which were significantly different between 2 groups. The *Logistic* regression was divided into three protocols: PI-RADS v2+t-PSA (A), PI-RADS v2+f-PSA/t-PSA (B), PI-RADS v2+PSAD (C). The ROC curves were constructed by the new parameters Logit (P) and PI-RADS v2 scores for assessing the diagnostic efficiency. **Results** The t-PSA, f-PSA/t-PSA, PSAD and PI-RADS v2 scores had significant differences between the 2 groups (all $P < 0.01$). Predictive multivariate model of A, B, C was established as Logit (P) = $-8.682 + 1.507 \text{ PI-RADS v2} + 0.234 \text{ t-PSA}$ ($\chi^2 = 65.993$, $P < 0.01$), Logit (P) = $-5.425 + 1.906 \text{ PI-RADS v2} - 13.921 \text{ f-PSA/t-PSA}$ ($\chi^2 = 65.993$, $P < 0.01$), Logit (P) = $-7.534 + 1.045 \text{ PI-RADS v2} + 13.318 \text{ PSAD}$ ($\chi^2 = 74.036$, $P < 0.01$), their area under the curve (0.945, 0.919, 0.960) were all higher than that of PI-RADS v2 score (0.861, all $P < 0.01$). The protocol C had the best diagnostic efficiency, and the sensitivity and specificity were 87.88% and 92.59%. The sensitivity and specificity of PI-RADS v2 score were 87.88% and 77.78%. **Conclusion** The diagnostic efficiency of the *Logistic* regression model which includes the PI-RADS v2 score and PSA are superior to the PI-RADS v2 score alone for transition zone PCa, which can provide a reliable basis for patients whether need biopsy or not.

[Key words] Prostate imaging reporting and data system version 2; *Logistic* regression models; Prostatic neoplasms; Prostate-specific antigen

DOI: 10.13929/j.1003-3289.201611121

联合第2版前列腺影像报告与数据系统评分与前列腺特异性抗原的 *Logistic* 回归预测模型诊断移行区前列腺癌

雷李智,许乙凯*,侯芙蓉,何梦琪

(南方医科大学南方医院影像中心,广东 广州 510515)

[摘要] **目的** 建立第2版前列腺影像报告和数据系统(PI-RADS v2)评分联合前列腺特异性抗原(PSA)的 *Logistic* 回归预测模型,评价其对移行区前列腺癌(PCa)的诊断价值。**方法** 回顾性分析经病理证实的移行区前列腺癌(PCa

[第一作者] 雷李智(1990—),男,湖南郴州人,在读硕士。研究方向:腹部CT与MRI。E-mail: 631071248@qq.com

[通信作者] 许乙凯,南方医科大学南方医院影像中心,510515。E-mail: yikaivip@163.com

[收稿日期] 2016-11-23 **[修回日期]** 2017-05-17

组, $n=33$)和良性前列腺增生或前列腺炎(非 PCa 组, $n=54$)患者的术前 MRI 及 PSA 资料。采用 PI-RADS v2 对 2 组进行评分(由低至高评为 1~5 分)。分析 2 组的 PI-RADS v2 评分、总 PSA(t-PSA)、游离 PSA(f-PSA)与 t-PSA 比值(f-PSA/t-PSA)及 PSA 密度(PSAD)的差异,选择有统计学意义的指标为自变量,以病理结果是否为 PCa 为因变量,建立 3 项 Logistic 回归模型:PI-RADS v2+t-PSA(A);PI-RADS v2+f-PSA/t-PSA(B);PI-RADS v2+PSAD(C)。建立 Logistic 回归模型产生的 Logit(P)和 PI-RADS v2 评分的 ROC 曲线,评估其诊断效能。结果 2 组 t-PSA、f-PSA/t-PSA、PSAD 及 PI-RADS v2 评分差异均有统计学意义(P 均 <0.01)。A、B、C Logistic 回归预测模型分别为:Logit(P)= $-8.682+1.507$ PI-RADS v2+0.234 t-PSA($\chi^2=65.993, P<0.01$);Logit(P)= $-5.425+1.906$ PI-RADS v2-13.921 f-PSA/t-PSA($\chi^2=65.993, P<0.01$);Logit(P)= $-7.534+1.045$ PI-RADS v2+13.318 PSAD($\chi^2=74.036, P<0.01$)。以 A、B、C 模型产生的 Logit(P)预测病理结果,其 ROC 曲线下面积分别为 0.945、0.919、0.960,均高于单独使用 PI-RADS v2 评分(AUC 为 0.861),差异有统计学意义(P 均 <0.01)。其中 C 模型诊断效能最佳,其敏感度、特异度分别为 87.88%、92.59%。单独使用 PI-RADS v2 评分的敏感度、特异度分别为 87.88%、77.78%。结论 联合 PI-RADS v2 评分和 PSA 指标的 Logistic 回归预测模型对移行区 PCa 的诊断效能优于单独使用 PI-RADS v2 评分,为可疑移行区 PCa 患者行穿刺活检提供了可靠的依据。

[关键词] 前列腺影像报告和数据系统第 2 版; Logistic 回归模型; 前列腺肿瘤; 前列腺特异性抗原

[中图分类号] R737.25; R445.2 [文献标识码] A [文章编号] 1003-3289(2017)07-1047-05

近年来我国前列腺癌(prostate cancer, PCa)发病率呈逐年上升趋势^[1],已成为严重威胁老年男性健康的恶性肿瘤之一,25%~30%的 PCa 发生于移行区^[2]。多参数 MRI 是目前认为诊断 PCa 最好的影像方法^[3-5],基于多参数 MRI 的第 2 版前列腺影像报告与数据系统(prostate imaging reporting and data system version 2, PI-RADS v2)可为诊断移行区 PCa 提供半定量标准^[6]。移行区组织成分复杂,常含有大量良性前列腺增生(benign prostate hyperplasia, BPH)结节,使移行区 PCa 与 BPH 影像鉴别困难^[7-8]。临床常采用前列腺特异性抗原(prostate specific antigen, PSA)检测与筛查 PCa,方法简便,但其敏感度及特异度相对较差^[9]。本研究旨在建立联合 PI-RADSv2 评分与 PSA 的 Logistic 回归预测模型,评价其对移行区 PCa 的诊断效能。

1 资料与方法

1.1 一般资料 收集 2014 年 9 月—2016 年 9 月间因 PSA 升高($>4 \mu\text{g}/\text{L}$)、于本院行 MR 检查的 259 例患者。所有患者均接受穿刺活检,部分患者接受经尿道前列腺电切术,根据病理结果分为 PCa 组和非 PCa 组。纳入标准:①PCa 组患者均接受经尿道前列腺电切术,术中见肿瘤体积的 70%以上位于移行区^[10];②非 PCa 组患者病理结果为 BPH 或前列腺炎;③活检与之后的 MR 检查间隔 ≥ 6 周。排除标准:①患者于 MR 检查前接受过激素、放疗等治疗;②患者存在极值变量($\text{PSA} > 50 \mu\text{g}/\text{L}$);③PCa 罕见病理类型,如前列腺肉瘤及前列腺内分泌癌;④图像质量不佳,影响分析评价。最终纳入 87 例患者,年龄 48~84 岁,平均

(67.2±8.10)岁。PCa 组 33 例,年龄 51~84 岁,平均(68.2±8.7)岁;非 PCa 组 54 例,年龄 48~80 岁,平均(66.6±7.8)岁,其中 BPH 49 例,前列腺炎 2 例,BPH 合并前列腺炎 3 例。

1.2 仪器与方法 采用 Philips Achieva 3.0T MR 扫描仪,以体线圈为射频发射线圈,腹部相控阵线圈为接收线圈。检查前患者适量饮水,以耻骨联合上缘为扫描中心,轴位扫描包括前列腺及精囊腺。轴位 T2WI 采用 SE 序列,TR 2 900 ms,TE 90 ms,回波链长度 13,层厚 4 mm,层间隔 0.4 mm,FOV 260 mm×260 mm,NSA 4,层数 28。DWI 采用单次激发自旋平面回波序列,b 值为 0、1 000 s/mm²,TR 2 000 ms,TE 67 ms,层厚 3.5 mm,层间隔 0.35 mm,FOV 240 mm×240 mm,NSA 4,层数 28。

1.3 PSA 及前列腺特异性抗原密度(prostate specific antigen density, PSAD)测量 患者于经直肠指诊、前列腺按摩、导尿等检查前抽取静脉血,测定总前列腺特异性抗原(total prostate specific antigen, t-PSA)及游离前列腺特异性抗原(free prostate specific antigen, f-PSA)。于 MRI 轴位、矢状位及冠状位图像测量前列腺横径、上下径、前后径,计算前列腺体积(cm³)=横径(cm)×前后径(cm)×纵径(cm)×0.52,获得 PSAD:PSAD=t-PSA/前列腺体积;并计算 f-PSA 与 t-PSA 的比值(f-PSA/t-PSA)。

1.4 PI-RADS v2 评分 由 2 名专科医师采用盲法独立阅片,意见不同时经协商达成一致。移行带病灶以 T2WI 评分为主^[11],当 T2WI 评分为 1、2、4、5 分时,为病灶的最终评分。当 T2WI 评分为 3 分时,需进行

DWI 评分:只有 DWI 评分为 5 分时,总分才改为 4 分,否则总分仍为 3 分。T2WI 评分标准:1 分,均匀中等信号强度;2 分,局限性低信号或不均匀有包膜的结节(BPH);3 分,边缘模糊,信号强度不均匀,或其他不符合 2、4 或 5 分标准者;4 分,呈透镜状或边界不清,均匀中度低信号,最大径<1.5 cm;5 分,影像表现同 4 分,但最大径≥1.5 cm,或有明确向前列腺外延伸或侵犯。DWI 评分标准:1 分,于 ADC 图和高 b 值图像上无异常;2 分,ADC 图模糊低信号;3 分,于 ADC 图局灶性轻或中度低信号,且高 b 值 DWI 等信号或轻度高信号;4 分,ADC 图明显局灶性低信号,高 b 值 DWI 显著高信号,且最大层面径线<1.5 cm;5 分,表现同 4 分,但最大层面径线≥1.5 cm,或有明确向前列腺外延伸或侵犯。以 PI-RADS v2 最终评分>3 分为 PCa 的诊断界值。

1.5 统计学分析 采用 SPSS 21.0 统计分析软件。2 组的 t-PSA、f-PSA/t-PSA 及 PSAD 比较采用两独立样本 t 检验,PI-RADS v2 评分采用 Mann-Whitney U 检验。以差异有统计学意义的指标为自变量,前列腺穿刺活检或术后病理结果为因变量,分为 PCa 组与非 PCa 组(Y=1,0),进行 Binary Logistic 多因素回归分析,建立 Logistic 回归预测模型。PI-RADS v2 与其他 3 个指标分别组合并建立回归方程,即回归模型包括 3 种模式:PI-RADS v2+t-PSA(A);PI-RADS v2+f-PSA/t-PSA(B);PI-RADS v2+PSAD(C)。对 3 个回归方程获得的 Logit(P)预测概率和 PI-RADS v2 评分建立 ROC 曲线,计算曲线下面积(area under the curve, AUC),评价诊断效能,AUC 的差异的比较采用 MedCalc 15.2.2 软件进行 Z 检验,P<0.05 为差异有统计学意义。

2 结果

2 组间年龄差异无统计学意义($t=-0.896$, $P>0.05$)。

2.1 2 组各指标统计结果 2 组 PI-RADS v2 评分差异有统计学意义($Z=-5.84$, $P<0.01$),见表 1。PCa 组 t-PSA、f-PSA/t-PSA、PSAD 分别为(23.79±13.25) $\mu\text{g}/\text{L}$ 、 0.10 ± 0.07 、(0.60 ± 0.36) $\mu\text{g}/(\text{L}\cdot\text{cm}^3)$;非 PCa 组分别为(8.23 ± 3.18) $\mu\text{g}/\text{L}$ 、 0.18 ± 0.09 、(0.13 ± 0.08) $\mu\text{g}/(\text{L}\cdot\text{cm}^3)$,2 组比较差异均有统计学意义($t=-8.27$ 、 4.44 、 -9.30 , P 均< 0.01)。

2.2 Logistic 回归方程 将上述有统计学意义的指标纳入参考变量,PI-RADS v2 与其他 3 个指标分别组合,分别建立回归方程,Logistic 回归预测模型建立

如下:

$$\text{A: } \text{Logit}(P) = -8.682 + 1.507 \text{ PI-RADS v2} + 0.234 \text{ t-PSA} (\chi^2=65.993, P<0.01)$$

$$\text{B: } \text{Logit}(P) = -5.425 + 1.906 \text{ PI-RADS v2} - 13.921 \text{ f-PSA/t-PSA} (\chi^2=65.993, P<0.01)$$

$$\text{C: } \text{Logit}(P) = -7.534 + 1.045 \text{ PI-RADS v2} + 13.318 \text{ PSAD} (\chi^2=74.036, P<0.01)$$

2.3 ROC 曲线 回归预测模型 A、B、C 的 AUC 分别为 0.945、0.919、0.960(P 均< 0.01),PI-RADS v2 评分的 AUC 为 0.861($P<0.01$),3 种回归模型与单独使用 PI-RADS v2 的 AUC 差异均有统计学意义($Z=2.81$ 、 2.75 、 2.68 , P 均< 0.01 ,图 1),其诊断效能见表 2,以 C 回归预测模型为最佳。非 PCa 组 PI-RADS v2 误诊的 12 例患者中,采用 A 模型正确诊断其中 4 例,B 模型正确诊断 9 例,C 模型正确诊断 8 例。见图 2、3。

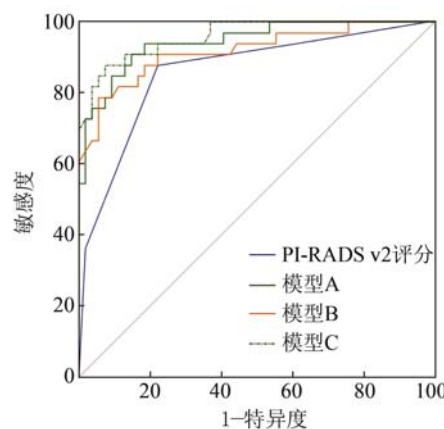


图 1 3 种回归模型与单独使用 PI-RADS v2 的 ROC 曲线

表 1 2 组 PI-RADS v2 评分结果(例)

组别	PI-RADS v2 评分				
	1	2	3	4	5
PCa 组(n=33)	0	2	2	17	12
非 PCa 组(n=54)	1	20	21	11	1

3 讨论

移行区 PCa 虽然发生率较低,但其多局限于包膜内,发现时体积往往较大,且术后早期还具有高度侵袭性^[12],故早期诊断对患者的预后至关重要。随着多参数 MRI 的应用,MRI 对移行区 PCa 的检测及描述能力均有提高^[13],MRI 引导下穿刺活检能够提高移行区 PCa 诊断与分级的准确率^[14]。

本研究单独使用 PI-RADS v2 评分对移行区 PCa

表2 PI-RADSv2与PSA结合的Logistic回归预测模型及单独使用PI-RADS v2的诊断效能比较

诊断试验	敏感度 (%)	特异度 (%)	准确率 (%)	阳性预测值 (%)	阴性预测值 (%)	界值	标准误	AUC的95%可信区间
模型 A	90.91	85.19	87.36	78.95	93.88	0.21	0.024	0.874, 0.982
模型 B	78.79	94.44	88.51	89.66	87.93	0.57	0.033	0.840, 0.966
模型 C	87.88	92.59	90.80	87.87	92.59	0.33	0.020	0.894, 0.990
PI-RADS v2	87.88	77.78	81.60	70.73	91.30	3	0.041	0.770, 0.926

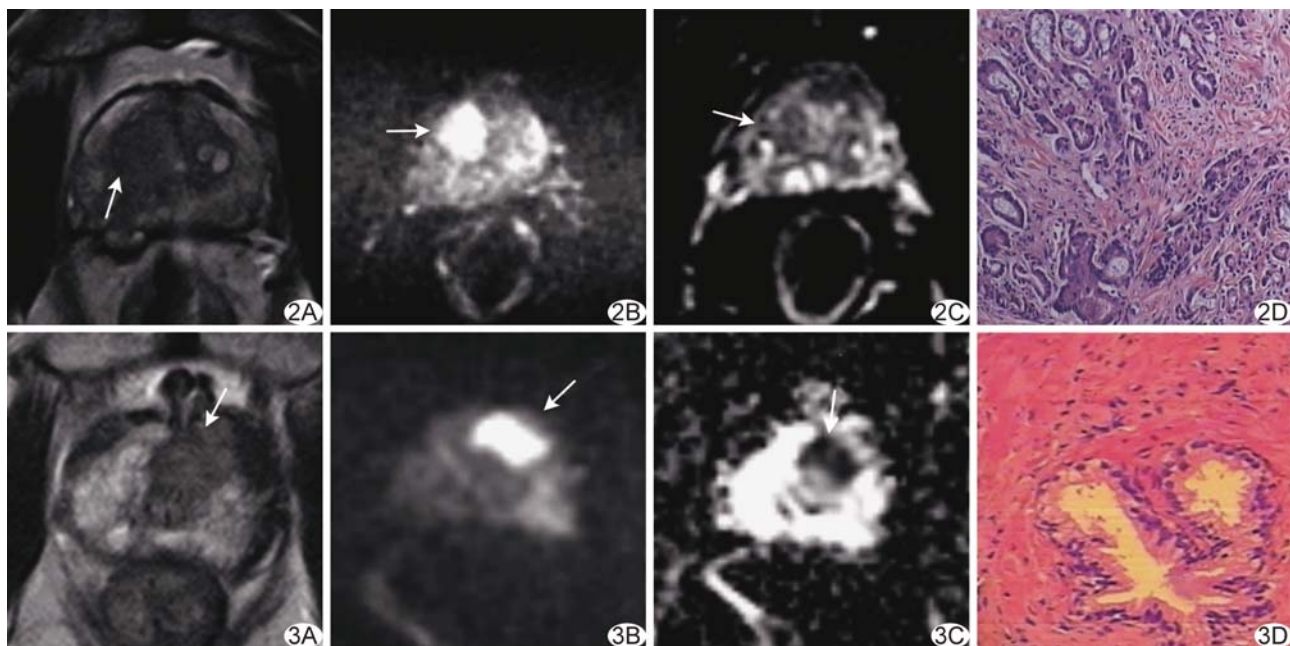


图2 患者男,60岁,前列腺腺泡癌,PSAD 0.97 $\mu\text{g}/(\text{L} \cdot \text{cm}^3)$,PI-RADS v2最终评分5分,C模型预测概率为0.99,均诊断正确 A.T2WI示右侧移行带中后部均匀低信号结节,边界模糊不清(箭),最大径>1.5 cm,T2WI评分5分;B.DWI示病变呈局灶性高信号(箭);C.ADC图呈局限性低信号(箭);D.病理图(HE, $\times 100$) 图3 患者男,80岁,前列腺增生并炎症细胞浸润,PSAD 0.13 $\mu\text{g}/(\text{L} \cdot \text{cm}^3)$,PI-RADS v2最终评分4分;C模型预测概率为0.16,PI-RADS v2误诊而C模型诊断正确 A.T2WI示左侧移行带前部均匀中等低信号结节,边界稍模糊不清(箭),最大径>1.5 cm,T2WI评分3分;B.DWI示病灶呈局灶性高信号(箭);C.ADC图呈局限性减低信号(箭);D.病理图(HE, $\times 100$)

进行诊断,PCa组33例中29例诊断正确,4例误诊,非PCa组54例中42例诊断正确,12例误诊,其敏感度与特异度分别为87.88%与77.78%,与姬广海等^[15]报道的敏感度(90.9%)与特异度(77.5%)相近,提示PI-RADS v2对移行区PCa的敏感度尚可,但特异度相对较差。笔者认为其原因为PI-RADS v2诊断移行区病变以T2WI为主导序列,DWI为补充序列^[16]。移行区也是BPH的好发部位,BPH通常分为腺体型(glandular BPH, gBPH)和基质型(stromal BPH, sBPH),sBPH在T2WI表现为低信号,与移行区PCa表现相似^[17],鉴别困难。当其伴发前列腺炎时更难以与移行区PCa鉴别^[18]。移行区PCa的DWI图像因水分子扩散明显受限而呈高信号,而sBPH含有大量

基质细胞和胶原,使细胞密度升高、细胞外组织间隙减小,水分子扩散受限而导致DWI亦呈高信号^[19],进一步增加了与移行区PCa的鉴别难度。因此PI-RADS v2诊断移行区PCa的特异度相对较差。

本研究结果显示联合PI-RADS v2评分与PSA指标,其诊断效能高于单独使用PI-RADSv2评分(P 均 <0.01),特异度有不同程度的升高。在3种回归预测模型中,C模型的诊断价值最高(AUC为0.960),C模型中加入了PSAD指标,而癌组织的PSAD明显高于BPH,PSAD可用来消除BPH对PSA升高的影响,客观地反映前列腺疾病的性质和破坏程度^[20]。当PSAD与PI-RADS v2评分构成C模型并以0.33为C模型预测概率的界值时,其特异度(92.59%)明显高

于单独使用 PI-RADS v2 评分时的特异度(77.78%)，而 C 模型的敏感度(87.88%)与单独使用 PI-RADS v2 时的敏感度(87.88%)一致。临床 PSAD 获取容易、方法简单，为 C 模型的临床应用提供了可行性。

本研究的不足：①样本量较小，可能会影响良恶性鉴别诊断价值的评价；②部分病例以 TRUS 引导性穿刺活检作为病理结果，可能存在假阴性。

总之，联合 PI-RADS v2 评分与 PSA 指标的 Logistic 回归预测模型对移行区 PCa 的诊断效能优于单独使用 PI-RADS v2 评分，尤其以 PI-RADS v2 联合 PSAD 最佳，可明显提高特异度，为可疑移行区 PCa 患者行穿刺提供可靠的依据。

[参考文献]

- [1] 韩苏军, 张思维, 陈万青, 等. 中国前列腺癌发病现状和流行趋势分析. 临床肿瘤学杂志, 2013, 18(4):330-334.
- [2] 张学琴, 王霄英, 陆健, 等. 扩散加权成像诊断前列腺中央腺体癌. 中国医学影像技术, 2012, 28(4):765-768.
- [3] Rouviere O, Papillard M, Girouin N, et al. Is it possible to model the risk of malignancy of focal abnormalities found at prostate multiparametric MRI?. Eur Radiol, 2012, 22(5):1149-1157.
- [4] Schimmoller L, Quentin M, Arsov C, et al. Predictive power of the ESUR scoring system for prostate cancer diagnosis verified with targeted MR-guided in-bore biopsy. Eur J Radiol, 2014, 83(12):2103-2108.
- [5] Quon JS, Moosavi B, Khanna M, et al. False positive and false negative diagnoses of prostate cancer at multi-parametric prostate MRI in active surveillance. Insights Imaging, 2015, 6(4):449-463.
- [6] Purysko AS, Rosenkrantz AB, Barentsz JO, et al. PI-RADS version 2: A pictorial update. Radiographics, 2016, 36(5):1354-1372.
- [7] 李鹏, 杨文君, 陈志强, 等. 动态增强 MRI 诊断前列腺中央腺体癌和不同类型前列腺增生. 中国医学影像技术, 2013, 29(6):962-966..
- [8] Kitzing YX, Prando A, Varol C, et al. Benign conditions that mimic prostate carcinoma: MR imaging features with histopathologic correlation. Radiographics, 2016, 36(1):162-175.
- [9] 陈汉民, 蔡联明, 刘联斌, 等. 血清 PSA 联合 PSAD 检测对前列腺癌的诊断价值. 现代肿瘤医学, 2014, 22(7):1640-1643.
- [10] Bouyé S, Potiron E, Puech P, et al. Transition zone and anterior stromal prostate cancers: Zone of origin and intraprostatic patterns of spread at histopathology. Prostate, 2009, 69(1):105-113.
- [11] Barrett T, Turkbey B, Choyke PL. PI-RADS version 2: What you need to know. Clin Radiol, 2015, 70(11):1165-1176.
- [12] Park SY, Kim CK, Park BK, et al. Diffusion-tensor MRI at 3T: Differentiation of central gland prostate cancer from benign prostatic hyperplasia. AJR Am J Roentgenol, 2014, 202(3):W254-W262.
- [13] Pokharel SS, Patel NU, Garg K, et al. Multi-parametric MRI findings of transitional zone prostate cancers: Correlation with 3-dimensional transperineal mapping biopsy. Abdom Imaging, 2015, 40(1):143-150.
- [14] Radtke JP, Boxler S, Kuru TH, et al. Improved detection of anterior fibromuscular stroma and transition zone prostate cancer using biparametric and multiparametric MRI with MRI-targeted biopsy and MRI-US fusion guidance. Prostate Cancer Prostatic Dis, 2015, 18(3):288-296.
- [15] 姬广海, 郑义, 季茹婷, 等. 多参数 MRI 对中央腺体前列腺癌的诊断价值. 中国医学影像学杂志, 2016, 24(8):591-595.
- [16] Rosenkrantz AB, Babb JS, Taneja SS, et al. Proposed adjustments to PI-RADS Version 2 decision rules: Impact on prostate cancer detection. Radiology, 2017, 283(1):119-129.
- [17] Rosenkrantz AB, Taneja SS. Radiologist, be aware: Ten pitfalls that confound the interpretation of multiparametric prostate MRI. AJR Am J Roentgenol, 2014, 202(1):109-120.
- [18] Hoeks CM, Vos EK, Bomers JG, et al. Diffusion-weighted magnetic resonance imaging in the prostate transition zone: Histopathological validation using magnetic resonance-guided biopsy specimens. Inves Radiol, 2013, 48(10):693-701.
- [19] 冷晓明, 韩晓蕊, 赵曼, 等. 单指数 DWI 和 IVIM-DWI 对前列腺中央腺体疾病的诊断效能. 中国医学影像技术, 2016, 32(10):1560-1564.
- [20] Sfoungaristos S, Perimenis P. PSA density is superior than PSA and Gleason score for adverse pathologic features prediction in patients with clinically localized prostate cancer. Can Urol Assoc J, 2012, 6(1):46-50.